

ОЦЕНКА ЧИСЛА ПРЕДЕЛЬНЫХ ЦИКЛОВ СИСТЕМЫ ЛЬЕНАРА С ДВУМЯ ОСОБЫМИ ТОЧКАМИ

В статье рассматривается система Льенара в случае двух состояний равновесия, когда функция трения есть многочлен четвертой степени общего вида, а функция упругости многочлен второй степени. В этом случае состояния равновесия – седло и антиседло, можно поместить, соответственно, в точки $O(0, 0)$ и $E(1, 0)$. Численный эксперимент показывает, что у такой системы возможны три предельных цикла, окружающих одно состояние равновесия. Сформулирована и доказана теорема, позволяющая использовать прогноз Смейла для оценки максимального числа предельных циклов данной системы. Доказанная теорема и проведенный численный эксперимент позволяют сделать окончательный вывод: система рассматриваемого вида может иметь три предельных цикла, а если предположить верной гипотезу Смейла, то это максимально возможное количество предельных циклов у такой системы. Описан алгоритм построения систем указанного вида, у которых есть ровно три предельных цикла.

Обнаружение предельных циклов в полиномиальных системах дифференциальных уравнений является самостоятельной научной задачей, известной в математике, как шестнадцатая проблема Гильберта. Задача состоит в том, чтобы для системы двух дифференциальных уравнений, имеющей в правой части полиномы от двух переменных степени не выше m

$$\dot{x} = P(x, y), \quad \dot{y} = Q(x, y) \quad (1)$$

найти условия, при которых данная система имеет определенное наперед заданное количество предельных циклов, и установить наибольшее возможное для данного m число $H(m)$ предельных циклов.

Будем рассматривать простейшие полиномиальные системы Льенара с тремя предельными циклами. Пусть система Льенара имеет две особые точки – седло и антиседло, функция упругости (восстанавливающая сила) – полином второй степени, функция трения (сила трения) – четвертой. Тогда состояния равновесия в рассматриваемом случае – седло и антиседло, можно поместить

соответственно в точки $O(0, 0)$ и $E(1, 0)$, и система примет вид

$$\frac{dx}{dt} = y, \quad \frac{dy}{dt} = x(x-1) - \left(\sum_{i=1}^5 a_i x^{i-1} \right) y. \quad (2)$$

Она может иметь три малоамплитудных предельных цикла [1].

По гипотезе Смейла [2], система Льенара

$$\frac{dx}{dt} = y - F(x), \quad \frac{dy}{dt} = -g(x) \quad (3)$$

при $g(x) = x$, $F(x)$ – полиномом степени $2k+1$, $F(0) = 0$, имеет не более k предельных циклов. Более точно, число предельных циклов системы (3) не превосходит числа положительных нулей функции $\varphi(x) = F(x) - F(-x)$. Если $g(x) \neq x$, то, рассмотрим преобразование

$$u = \sqrt{2G(x)} \operatorname{sign}(x) = \psi(x), \quad (4)$$

где $G(x) = \int_0^x g(z) dz$.

Продифференцировав (4) по x , получим: $u du = g(x) dx$, откуда

$$dx = \frac{u du}{g(x)}. \quad (5)$$

Подставив (5) в (3), получим систему:

$$\frac{du}{dt} = (y - F(x(u))) \frac{g(x)}{u}, \quad \frac{dy}{dt} = -g(x). \quad (6)$$

Умножим правые части системы (6) на $\frac{u}{g}$. Заметим, что умножение правых частей на некоторую положительную функцию не изменяет числа предельных циклов, которые при этом не поменяют своей формы, изменится лишь закон движения точки $x = \eta(t)$, $y = \mu(t)$ по предельному циклу. В результате получим систему:

$$\frac{du}{dt} = y - \tilde{F}(u), \quad \frac{dy}{dt} = -u, \quad (7)$$

где $\tilde{F}(u) = F(x(u))$ и $g(u) = u$. Если функция $\tilde{F}(u)$ хорошо аппроксимируется полиномом невысокой степени в полосе $u_1 < u < u_2$ плоскости uOy , в которой находятся предельные циклы, то можем использовать прогноз Смейла, оценив

число положительных нулей функции $\tilde{F}(u) - \tilde{F}(-u)$. Оно равно числу решений системы:

$$F(x) = F(y), \quad G(x) = G(y), \quad x > 0, \quad y < 0. \quad (8)$$

Система (2) с $g(x) = x(1-x)$, $f(x) = \sum_{j=1}^5 a_j x^{j-1}$ приводится к системе (3)

с $F(x) = \int_1^x f(z) dz$. Тогда преобразование $u = \sqrt{2G(x)} \text{sign}(x-1)$, где $G(x) = \int_1^x g(z) dz$ приводит ее к системе (7), а соответствующая система (8) рассматривается в области $0 < x < 1, y > 1$. Исследование системы (8) в этой области упрощается, если ввести замену $x = py, 0 < p < 1$. Тогда из второго уравнения в (8) находим $y = \frac{3}{2} \frac{p+1}{p^2+p+1}, x = \frac{3}{2} \frac{p(p+1)}{p^2+p+1}$. Подставляя найденные x, y в первое уравнение системы (8), получим уравнение

$$\Phi(p) = a_1 + (a_2 + a_3)\varphi_3(p) + a_4\varphi_4(p) + a_5\varphi_5(p) = 0, \quad (9)$$

При $a_2 + a_3 \neq 0$ оно приводится к виду:

$$A_1 = \varphi_3(p) + A\varphi_4(p) + B\varphi_5(p), \quad (10)$$

$$\text{где } A_1 = \frac{-a_1}{a_2 + a_3}, A = \frac{a_4}{a_2 + a_3}, B = \frac{a_5}{a_2 + a_3}.$$

Обозначим правую часть уравнения (10) через $f_0(p, A, B)$. Итак, получили трехпараметрическое семейство уравнений $f_0(p, A, B) = A_1$, число решений которых не превосходит $k+1$, где k – число экстремумов функции $f_0(p, A, B)$, $0 < p < 1$. Экстремумы этой функции при изменении параметров A, B, A_1 могут исчезать через образование трехкратных нулей уравнения (10) и через концы промежутка $0 < p < 1$, то есть через точки $p = 0, p = 1$. В связи с этим, введем в рассмотрение прогнозные кривые: трехкратных предельных циклов – $3LCp$, кратных сепаратрисных циклов типа петля – $WSCp$, а также кривую кратных фокусов – WF .

Прогнозную кривую $3LCp$ в плоскости параметров A и B определим как множество точек (A, B) , полученных из системы

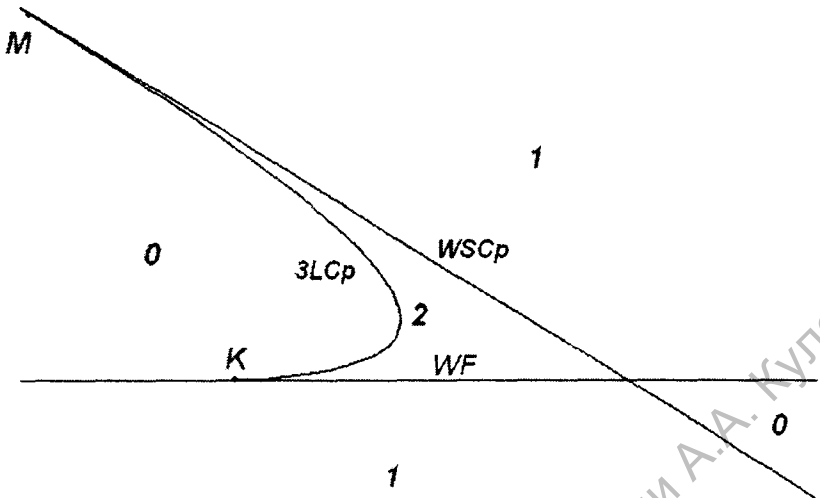
$$\varphi_3'(p) + A\varphi_4'(p) + B\varphi_5'(p) = 0, \quad \varphi_3''(p) + A\varphi_4''(p) + B\varphi_5''(p) = 0,$$

при различных $p \in (0, 1)$. Прогнозную кривую $WSCp$ определим из условия $\text{div } v(O) = 0$, где v – векторное поле системы (2), что соответствует уравнению $\varphi_3(0) + A\varphi_4(0) + B\varphi_5(0) = 0$. Наконец, кривая кратных фокусов определяется из условия $g_3 = 0$, где g_3 – первая фокусная величина, что на плоскости

параметров A и B соответствует уравнению $\varphi_3''(1) + A\varphi_4''(1) + B\varphi_5''(1) = 0$.

Все указанные кривые (две из них прямые) изображены на рис. 1.

Концы K и M кривой $3LCp$ лежат соответственно на кривых $WF, WSCp$. Все кривые разбивают плоскость (A, B) на пять областей, в каждой из которых функция имеет постоянное число экстремумов (оно отмечено на рис. 1 числами 0, 1, 2). Таким образом доказана следующая теорема:



Теорема. Число решений уравнения (10) при $0 < p < 1$ и $a_2 + a_3 \neq 0$ не превышает трех.

Непосредственно из теоремы следует

Следствие: число предельных циклов системы (2), с учетом прогноза Смейла [2], не превышает трех.

Покажем, что такие системы существуют. Для этого рассмотрим уравнение (9)

$$\Phi(p) = a_1 + (a_2 + a_3)\varphi_3(p) + a_4\varphi_4(p) + a_5\varphi_5(p) = 0$$

Нетрудно убедиться, что многочлены $\varphi_k(p)$ образуют систему функций Чебышева, т.е. $\det(\varphi_i(p_k)) \neq 0$, $i = \overline{3,5}$, для любых различных $p_k \in (0; 1)$, $k = \overline{1,3}$.

Выбирая значения $p_k \in (0; 1)$, $k = \overline{1,3}$, получаем систему из трех уравнений, в которых в качестве неизвестных выступают коэффициенты a_k , $k = \overline{1,5}$. В этой системе уравнений a_1 выбирается произвольным образом. В результате можем подобрать коэффициенты a_k , $k = \overline{1,5}$, так, чтобы получить три положительных нуля нечетной части функции $\tilde{F}(u)$ для любого набора $p_k \in (0; 1)$, $k = \overline{1,3}$, и это по доказанной теореме максимальное число положительных нулей нечетной части функции $\tilde{F}(u)$, которое можно получить в рассматриваемом случае.

Численный эксперимент показывает, что система (2), построенная по вышеуказанному алгоритму, может иметь три предельных цикла, например, при $a_1 = 10^{-5}$, $a_2 = 1$, $a_3 = 0,9694$, $a_4 = -2,8391$, $a_5 = -3,8675$.

Доказанная теорема и проведенный численный эксперимент позволяют сделать окончательный вывод: система вида (2) может иметь три предельных цикла, и если гипотеза Смейла верна, то это максимально возможное количество предельных циклов у такой системы.

ЛИТЕРАТУРА

1. **Christopher, C.J.** Small-amplitude limit cycles bifurcation for Lienard systems with quadratic or cubic damping or restoring forces / C.J. Christopher, S. Luch. *Nonlinearity*, 12 (1999). – P. 1099-1112.
2. **Smale, S.** Mathematical problems for the next century / S. Smale // *Math. Intelligencer* 20. – № 2 (1998), 7-15.
3. **Эрроусмит, Д.** Обыкновенные дифференциальные уравнения. Качественная теория с приложениями / Д. Эрроусмит, К. Плейс. – М.: Мир, 1986. – 288 с.: ил.
4. **Атаманов, П.С.** Аналитические и численные методы исследования предельных циклов динамических систем / П.С. Атаманов, В.П. Желтов. – Чебоксары, 1998. – 144 с.
5. **Гаврилов, Н.И.** Методы теории обыкновенных дифференциальных уравнений / Н.И. Гаврилов. – М.: Высшая школа, 1962. – 314 с.: ил.
6. Теория бифуркаций динамических систем на плоскости / А.А. Андронов [и др.]. – М.: Наука, 1967. – 488 с.: ил.
7. **Баутин, Н.Н.** Методы и приемы качественного исследования динамических систем на плоскости / Н.Н. Баутин, Е.А. Леонтович. – М.: Наука, 1976. – 496 с.: ил.
8. **Андронов, А.А.** Теория колебаний / А.А. Андронов, А.А. Витт, С.Е. Хайкин. – М.: ФИЗМАТГИЗ. – 916 с.: ил.